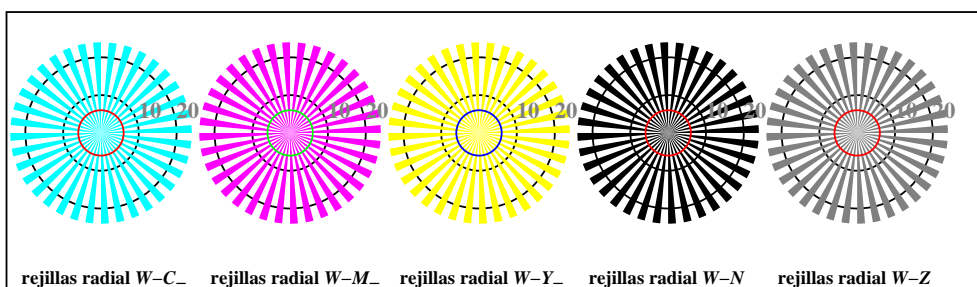


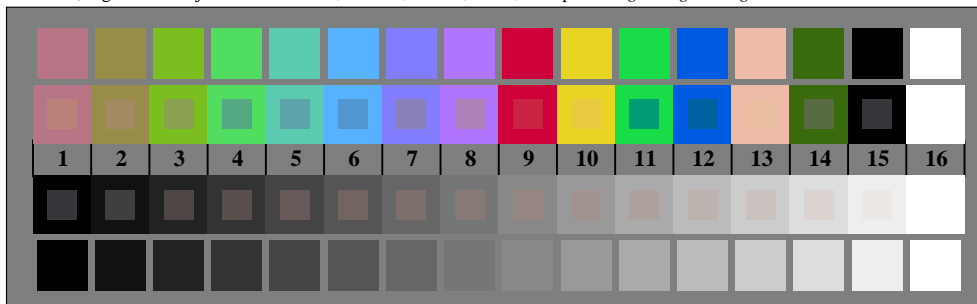
TS941-1, Fig. B4W-: 16 equidistant pasos W-C<sub>-</sub>; W-M<sub>-</sub>; W-Y<sub>-</sub>; W-N; PS operator *rgb/cmy0 set(rgb/cmyk)color*

|      |           |             |             |
|------|-----------|-------------|-------------|
| +--: | lmno      | pqrs        | tuww        |
| xyz; | hijk      | lmno        | pqrs        |
| tuvw | defg      | c           | lmno        |
| pqrs | !abc      | hijk        | hijk        |
| lmno | +-:       | +-:         | +-:         |
| hijk | xyz;      | xyz;        | xyz;        |
| defg | tuvw      | tuvw        | tuvw        |
| !abc | defg      | defg        | defg        |
| 10   | N C_M_Y_Z | 6 N C_M_Y_Z | 4 N C_M_Y_Z |

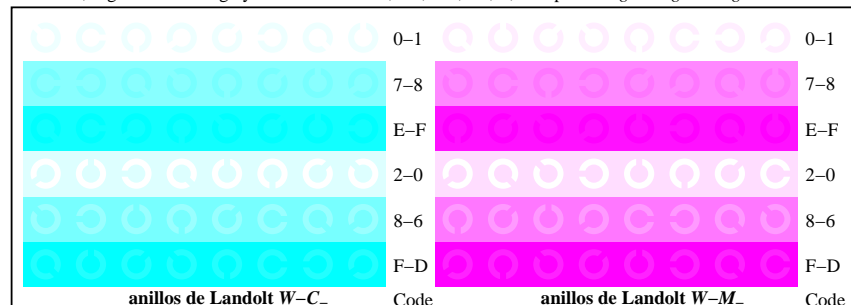
TS941-3, Fig. B5W-: codigo y Landolt annilosN; C<sub>-</sub>; M<sub>-</sub>; Y<sub>-</sub>; Z; PS operator *rgb->rgb\_setrgbcolor*



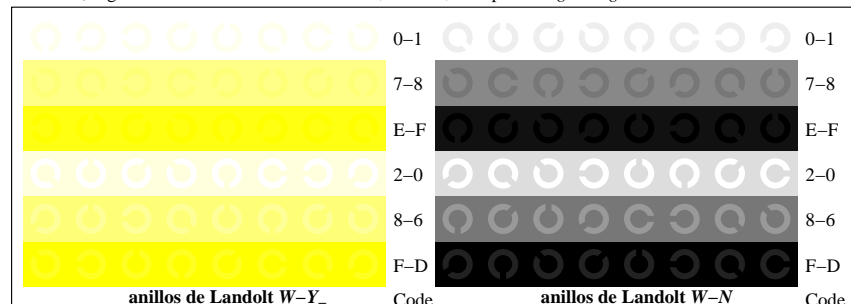
TS940-5, Fig. B2W-: rejillas radial W-C<sub>-</sub>; W-M<sub>-</sub>; W-Y<sub>-</sub>; W-N; PS operator *rgb->rgb\_setrgbcolor*



TS940-7, Fig. B3W-: CIE 14 colores del test y 2 + 16 pasos de gris (sf); PS operator *rgb/cmy0 set(rgb/cmyk)color*



TS941-5, Fig. B6W-: anillos de Landolt W-C<sub>-</sub>; W-M<sub>-</sub>; PS operator *rgb setrgbcolor*



TS941-7, Fig. B7W-: anillos de Landolt W-Y<sub>-</sub>; W-N; PS operator *rgb setrgbcolor*